doi:10.3969/j.issn.1009-6469.2020.11.037

◇临床医学◇

## 同源盒 A9 和前 B 细胞白血病同源盒基因 在结肠癌中的表达及意义

王鹏,王胜文,宋晓红 作者单位:南阳市第一人民医院肛肠科,河南 南阳473000

摘要:目的 观察同源盒 A9(HOXA9)和前 B细胞白血病同源盒基因(PBX3)在结肠癌组织及其癌旁组织中的表达,探讨二者与结肠癌临床病理参数的关系及其对结肠癌3年预后的影响。方法 选取 2014年8月至2016年5月于南阳市第一人民医院进行手术治疗的结肠癌病人77例,取其癌组织及相应癌旁组织,实时荧光定量 PCR(qRT-PCR)法检测结肠癌及其癌旁组织HOXA9 mRNA、PBX3 mRNA表达情况,免疫组织化学法检测其癌组织及癌旁组织标本中HOXA9P与 PBX3蛋白表达,分析HOXA9P、PBX3表达与临床病理特征的关系,运用 Spearman 法分析 HOXA9P与 PBX3表达相关性,通过 Kaplan-Meier 法对结肠癌病人 3年内存活情况进行分析。结果 与癌旁组相比,结肠癌组 HOXA9 mRNA[(3.09±0.55)比(1.02±0.15)]、PBX3 mRNA表达水平[(2.51±0.47)比(0.98±0.11)]、HOXA9、PBX3蛋白阳性表达率显著升高(P<0.05);HOXA9、PBX3表达均与结肠癌病人分化程度、TNM分期有关(P<0.05);Spearman 相关性分析结果显示结肠癌组织中 HOXA9与PBX3 mRNA表达呈正相关(r,=0.643,P<0.05);Kaplan-Meier 法分析显示 HOXA9、PBX3 阳性表达组3年内总生存率(OS)显著低于阴性表达组(41.2% VS 84.6%,43.6% VS 86.4%)。结论 结肠癌组织中 HOXA9、PBX3均高表达,二者呈正相关,均与结肠癌分化程度、TNM分期及预后相关,可能共同参与结肠癌的发生发展。

关键词:结肠肿瘤; 前体B细胞淋巴母细胞白血病淋巴瘤; 基因,同源盒; 同源盒A9; 前B细胞白血病同源盒基因3; 预后

# Expressions and significances of transcription factors HOXA9 and PBX3 in colon cancer

WANG Peng, WANG Shengwen, SONG Xiaohong

Author Affiliation: Department of Anorectal, Nanyang First People's Hospital, Nanyang, Henan 473000, China

Abstract: Objective To observe the expressions of homologous box A9 (HOXA9) and pre-B-cell leukemia homologous box 3 (PBX3) in colon cancer and its adjacent tissues, and to explore their relationships with clinicopathological parameters of colon cancer and their effects on three-year prognosis of colon cancer. Methods 77 patients with colon cancer who underwent surgical treatment in Nanyang First People's Hospital from August 2014 to May 2016 were selected, cancer tissues and corresponding adjacent tissues were taken, real-time fluorescence quantitative PCR (qRT-PCR) was used to detect the expressions of HOXA9 mRNA and PBX3 mRNA in colon cancer and adjacent tissues, the expressions of HOXA9P and PBX3 were detected by immunohistochemistry, the relationships between the expressions of HOXA9P and PBX3 and clinicopathological features were analyzed, Spearman method was used to analyze the correlation between HOXA9P and PBX3 expressions, the 3-year survival of patients with colon cancer was analyzed by Kaplan-Meier method. Results Compared with the adjacent group, the expression levels of HOXA9 mRNA [ (3.09± 0.55)vs. (1.02±0.15)], PBX3 mRNA[(2.51±0.47)vs. (0.98±0.11)], HOXA9 and PBX3 proteins were significantly higher in colon cancer group (P < 0.05). The expressions of HOXA9 and PBX3 were related to the differentiation degree and TNM stage of colon cancer patients (P < 0.05). Spearman correlation analysis showed that HOXA9 was positively correlated with PBX3 mRNA expressions in colon cancer ( $r_s = 0.643$ , P < 0.05). Kaplan-Meier analysis showed that the 3-year overall survival (OS) rate of HOXA9 and PBX3 positive expression group was significantly lower than that of negative expression group (41.2% vs.84.6%, 43.6% vs.86.4%). Conclusion HOXA9 and PBX3 are highly expressed in colon cancer tissues, there is a positive correlation between them, and they are correlated with the degree of differentiation, TNM stage and prognosis of colon cancer, and may participate in the occurrence and development of colon cancer.

**Key words:** Colonic neoplasms; Precursor B-cell lymphoblastic leukemia-lymphoma; Genes, homeobox; Homologous box A9; Homologous box gene 3 of pre-B-cell leukemia; Prognosis

结肠癌是常见的胃肠道恶性肿瘤,发病率占胃 肠道肿瘤的第3位,近年来结肠癌发生率随饮食结 构、生活习惯变化而增加[1-3]。结肠癌的发生是多种癌基因、抑癌基因共同参与调控的疾病,其病理机制

尚未完全阐明。同源盒 A9(homeobox gene, HOXA9)是 HOX基因 A 簇中的成员之一, 研究显示其在结肠癌癌组织中异常表达<sup>[4]</sup>。前 B 细胞白血病同源盒基因(Pre-B-cell Leukemia Homeobox Gene 3, PBX3)可以调节肿瘤生长增殖等生物学行为, 但其在结肠癌中报道较少, 其作用与分子机制尚不清晰<sup>[5]</sup>。研究显示, PBX与 HOX编码蛋白可相互结合, 促进 HOX编码蛋白与下游靶基因结合调控癌症进程<sup>[6]</sup>,但二者在结肠癌中表达关系研究较少, 因此本研究采用免疫组化法检测 HOXA9和 PBX3 在结肠癌瘤组织及其癌旁组织中的表达情况, 分析其与结肠癌临床病理参数及预后的关系,同时对二者相关性进行分析, 以期为结肠癌的诊断与治疗提供新思路。

### 1 资料与方法

1.1 一般资料 选取 2014年8月至 2016年5月干 南阳市第一人民医院进行手术治疗的77例结肠癌 病人,取其癌组织及相应癌旁组织(其部位与肿瘤 边缘间至少距离2 cm)分别作为结肠癌组与癌旁 组,所有病人均经病理证实为结肠癌。其中男34 例,女43例,年龄范围为49~70岁,年龄(59.51± 8.17)岁。收集临床病理资料,按照国际抗癌联盟 制定的结肠癌分期标准[4]分为Ⅰ期20例、Ⅱ期19 例、Ⅲ期19例、Ⅳ期19例;高分化12例、中分化17 例、低分化48例。纳入标准:结肠癌病人均经手术 病理证实;术前未进行化疗、放疗及激素治疗者; 病灶无明显坏死区。排除标准:临床资料不完整 者;合并自身免疫性疾病者;具有明显炎症细胞浸 润癌旁组织;合并其他恶性肿瘤者。本研究符合 《世界医学协会赫尔辛基宣言》相关要求,所有研 究对象对本研究知情同意且签署知情同意书。

1.2 方法 应用TRI 试剂提取结肠癌组织及其癌 旁组织标本中RNA,应用Bio Rad 逆转录试剂盒逆转录为cDNA,采用2×SYBR Green PCR MAsterMix,以cDNA为模板,进行qRT-PCR 检测,引物由生工生物工程(上海)有限公司合成,见表1。PCR 反应条件:95  $^{\circ}$  10 min; (95  $^{\circ}$  15 s、60  $^{\circ}$  30 s、72  $^{\circ}$  30 s)×40个循环。采用 $2^{-\Delta\Delta C}$  算法[7] 计算 HOXA9 mRNA、PBX3 mRNA 相对表达量,均以 GAPDH 为内参基因。试验重复3次,取平均值。

表1 引物设计

基因	正向引物5′—3′	反向引物5′-3′
HOXA9	AAGGTGAAGGTCGGAGTCAAC	GGGGTCATTGATGGCAACAATA
PBX3	CCTAATGTACAGTATGGTGG	CTATGCATCACCTCACATAG
GAPDH	ATTGGAACGATACAGAGAAGATT	GGAACGCTTCACGAATTTG

1.3 免疫组化染色 取冻存的结肠癌组织及其癌

旁组织进行切片,厚度4μm,脱蜡处理后使用3%过 氧化氢灭活,切片用PBS溶液洗涤3次,每次5 min, 清洗后滴加Ultra V Block, 室温条件下孵育5 min 封 闭,滴加一抗工作液,4℃孵育过夜,PBS冲洗,滴加 生物素标记的二抗工作液,37℃孵育30 min 后经 DAB 显色剂显色,蒸馏水充分冲洗后苏木素复染, 并将其在不同梯度乙醇中脱水、封片。在400倍光 镜下观察结果并从每个切片中选取10个高倍视野 中随机挑选并对阳性染色细胞数量进行统计。观 察记录指标并采用半定量积分法判定结果:阳性细 胞百分比与染色程度。按照染色程度:无色0分;淡 黄色1分;棕黄色2分;棕褐色3分,按照阳性细胞占 同类观察细胞总数的百分比: <5% 记为0分;5%~ 25% 记为1分;26%~50% 记为2分;>50% 记为3 分。取两组积分之乘积:≤2分为阴性,≥2分为阳性。 1.4 统计学方法 采用统计学软件 SPSS17.0 对数 据进行分析,计量资料以 $\bar{x} \pm s$ 表示,两组间比较采 用t检验;计数资料用例(%)表示,采用 $\chi$ 检验;采用 Spearman 法进行相关性分析。各组数据均以P< 0.05 为差异有统计学意义。

#### 2 结果

**2.1** 结肠癌组织及其癌旁组织中HOXA9 mRNA、PBX3 mRNA表达情况 与癌旁组相比,结肠癌组 HOXA9 mRNA、PBX3 mRNA表达水平显著升高,差 异有统计学意义(*P*<0.05)。见表2。

表2 结肠癌77 例癌组织及癌旁组织HOXA9 mRNA、 PBX3 mRNA表达水平的检测结果

组别	例数	$\text{HOXA9/GAPDH}/\bar{x} \pm s$	PBX3/GAPDH/ $\bar{x} \pm s$
癌旁组	77	1.02±0.15	0.98±0.11
结肠癌组	77	$3.09\pm0.55$	2.51±0.47
t 值		31.862	27.814
P 值		< 0.001	< 0.001

2.2 结肠癌组织及其癌旁组织中 HOXA9、PBX3 蛋白表达情况 免疫组化结果显示 HOXA9位于细胞质中,染色呈浅黄色、棕黄色颗粒。PBX3位于细胞质及细胞膜中,染色呈浅黄色、棕黄色颗粒。见图1。与癌旁组相比,结肠癌组 HOXA9、PBX3蛋白阳性表达率均显著升高(P<0.05)。见表3。

表3 结肠癌组织及癌旁组织中HOXA9、 PBX3蛋白表达(n=77)

4H HI	HOXA9			PBX3		
组别	阴性/例	阳性/例	阳性率/%	阴性/例	阳性/例	阳性率/%
癌旁组	58	19	24.67	54	23	29.87
结肠癌组	26	51	51 66.23		55	71.43
χ <sup>2</sup> 值	26.819			27.266		
P 值	< 0.001			< 0.001		

2.3 HOXA9、PBX3蛋白表达与结肠癌临床病理参数的关系 根据 HOXA9 表达情况分为 HOXA9 阴性 26 例,阳性 51 例,根据 PBX3 表达情况分为 PBX3 阴性 22 例,PBX3 阳性 55 例。分化程度低、TNM分期 Ⅱ~Ⅳ期病人 HOXA9 阳性表达、PBX3 阳性表达比例均显著高于分化程度中高、TNM分期 Ⅰ~Ⅱ(P<0.05),在不同性别、年龄、肿瘤部位、结肠癌类型、肿瘤大小病人中比较,差异无统计学意义(P>0.05)。见表4。

表 4 结肠癌 77 例 HOXA9、PBX3 表达与结肠癌临床病理参数关系/例

临床病理	例	HOXA9			PBX3		
特征	数	阴性 (26)	阳性 (51)	χ²值, <i>P</i> 值	阴性 (22)	阳性 (55)	χ²值, <i>P</i> 值
性别							
男	34	12	22	0.064, 0.801	11	23	0.427, 0.514
女	43	14	29	0.001	11	32	0.511
年龄							
< 50 岁	37	13	24		10	27	0.083, 0.773
≥50 岁	40	13	27		12	28	0.775
肿瘤部位							
左	41	14	27	0.060, 0.807	12	29	0.021, 0.885
右	36	12	24	0.007	10	26	0.003
肿瘤大小							
≤5 cm	43	16	27	0.516, 0.472	13	30	0.132, 0.717
> 5 cm	34	10	24	02	9	25	0
分化程度							
高、中分化	29	15	14	6.708, 0.010	13	16	6.024, 0.014
低分化	48	11	37	0.010	9	39	0.01.
TNM 分期	TNM 分期						
I ~ II	39	21	18	22.904, < 0.001	20	19	19.972, < 0.001
$III \sim IV$	38	5	33	0.001	2	36	10.001
类型							
腺癌	35	15	20	2.371, < 0.001	8	27	1.027, 0.311
黏液腺癌	42	11	31	- 0.001	14	28	0.011

**2.4** 结肠癌组织中 HOXA9、PBX3 表达关系 HOXA9、PBX3 在结肠癌组织中同阳性表达率为 61.03%(47/77),同阴性表达率为23.38%(18/77)。 Spearman 相关性分析结果显示结肠癌组织中 HOXA9 与 PBX3 表 达 呈 正 相 关  $(r_s = 0.643, P < 0.05)$ 。见表5。

表5 结肠癌组织中HOXA9、PBX3表达关系/例

组别	例数	HOXA9阴性	HOXA9阳性
PBX3 阴性	22	18	4
PBX3 阳性	55	8	47

2.5 结肠癌组织中HOXA9、PBX3蛋白表达与预后的关系 Kaplan-Meier法分析显示HOXA9 阳性表达组3年内总生存率(Overall survival, OS)显著低于阴性表达组(41.2% 比 84.6%)( $\chi^2$  = 40.358,P = 0.000)。PBX3 阳性表达组病人3年内OS显著低于阴性病人(43.6% 比 86.4%)( $\chi^2$  = 40.260,P = 0.000)。见图2。

#### 3 讨论

结肠癌是常见的消化道恶性肿瘤,好发于直肠与乙状结肠交界处,对人类生命健康具有极大威胁。早期症状不明显,中期也仅表现为腹胀、消化不良,待发生腹痛、黏液便时已为中晚期,且伴随病灶转移,贻误最佳治疗时期,因此提高结肠癌早期诊断率、寻找新的分子靶向治疗及转移、复发预警指标等成为结肠癌研究中需解决的重大问题。

结肠癌是多基因参与的过程,目前已发现多种促癌、抑癌基因参与结肠癌的癌变进程。研究显示,HOXA9在结肠癌中异常表达,HOX基因在调控结肠癌细胞增殖与分化中发挥重要作用<sup>[4]</sup>。HOXA9位于人类7p15-p14,是同源盒HOX基因A簇中一员,在控制细胞增殖、分化以及疾病进展中发挥重要作用<sup>[7]</sup>。Bhatlekar等<sup>[8]</sup>研究表明,HOXA9在结肠癌组织中呈上调表达。本研究中qRT-PCR结果显示结肠癌组织HOXA9mRNA表达水平显著高于其癌旁组织,同时免疫组化法显示结肠癌组织HOXA9蛋白水平均显示结肠癌中HOXA9表达水平上调,提示HOXA9可能与结肠癌的发病有关,是潜在的促肿瘤因子。进一步研究显示HOXA9与淋巴结转

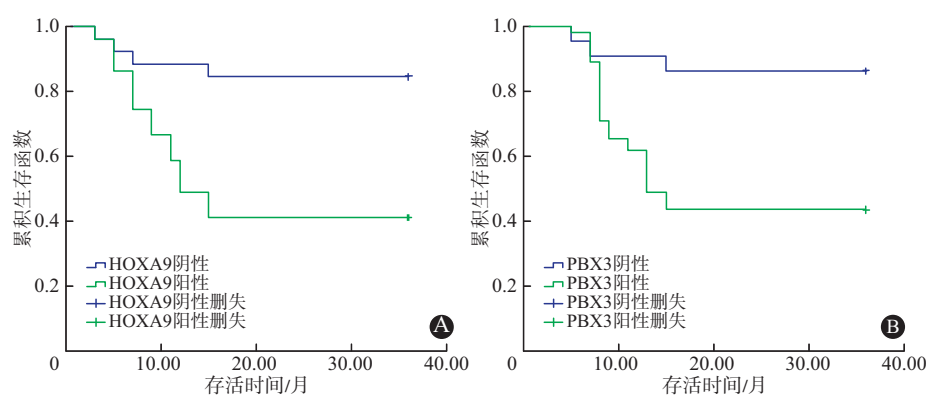


图2 结肠癌77例生存曲线图:A为HOXA9,B为PBX3

移、临床分期、组织分化程度、浸润深度显著相关,提示 HOXA9 可能促进结肠癌恶性转变过程,与 Bhatlekar 等研究一致。同时本研究结果显示 HOXA9 阳性表达组3年内OS显著低于阴性表达组,提示HOXA9 阳性表达不利于结肠癌病人预后,为结肠癌病人术后随访提供了观测指标。

PBX3是同源盒PBX基因家族成员,编码的蛋白 为转录因子PBX3,在多种组织中广泛表达,在多种 恶性肿瘤中均高水平表达,如胃癌、宫颈癌以及子宫 内膜癌<sup>[9-12]</sup>。研究表明转录因子PBX3可诱导上皮间 质转化的发生,正常生理状态下PBX3处于"沉默"状 态, 当发生癌症时被激活[13]。Han等[14]研究表明, 结 直肠癌组织中PBX3表达高于正常结直肠组织,且其 表达与结盲肠癌病人预后相关。PBX3的高表达导 致 E-cadherin 介导的细胞黏附丢失、诱导间充质标 志物活化,增强肿瘤细胞的侵袭和迁移能力,促进结 直肠癌的浸润与转移[15]。本研究 gRT-PCR 与免疫 组化结果显示,结肠癌组织PBX3 mRNA、蛋白阳性 表达率显著高于其癌旁组织,与临床病理参数的关 系研究表明,PBX3与结肠癌临床分期、分化程度均 显著相关,提示PBX3可能促进结肠癌的进展过程。 Lamprecht 等[16]通过细胞学研究证实,PBX3在具有 低分化结直肠癌细胞株中高表达,而在人结肠癌高 分化细胞株中表达水平则较低,提示PBX3可能与细 胞的分化程度及转移潜能密切相关。与此一致,本 研究也发现低分化结肠癌组织中PBX3蛋白阳性表 达率显著高于中高分化癌组织。本研究还显示 PBX3 阳性表达组病人3年内OS 显著低于阴性病人, 提示PBX3 阳性表达与结肠癌病人的不良预后密切 相关,需加强术后随访,并采取方案改善病人预后, 延长生命。研究表明,PBX基因编码的蛋白与HOX 基因编码的蛋白可相互结合,增强HOX蛋白与DNA 的结合能力,促进下游分子转录激活,进而促进肿瘤 的发展[17]。本研究 Spearman 分析表明 HOXA9、 PBX3蛋白表达在结肠癌组织中正相关,二者又均与 结肠癌临床病理特征密切相关,推测结肠癌的发生 发展可能涉及HOXA9、PBX3共同作用,但二者之间 的相互作用还有待进一步研究。

综上所述,结肠癌组织中HOXA9、PBX3蛋白高表达,两者均与结肠癌临床病理特征及预后相关,可能共同参与结肠癌的发生发展。本研究存在一定不足之处,研究样本较少可能会对结果造成偏倚,将扩大样本量,另外对HOXA9、PBX3共同参与结肠癌的关系也有待进一步研究。

(本文图1见插图11-1)

### 参考文献

- [1] 沈胤晨,石远凯,韩晓红.结直肠癌靶向治疗研究进展[J].中华 病理学杂志,2015,44(6):430-433.
- [2] 李新峰,侯臣芳.腹腔镜结肠癌根治术与开腹结肠癌根治术的 近、远期疗效对比[J].现代肿瘤医学,2017,25(4):584-587.
- [3] 宋华琛,唐晓楠,张海婧,等结肠炎相关结肠癌机制研究进展 [J].基础医学与临床,2018,38(4):568-572.
- [4] WATANABE Y, SAITO M, SAITO K, et al. Upregulated HOXA9 expression is associated with lymph node metastasis in colorectal cancer[J].Oncol Lett, 2018, 15(3):2756-2762.
- [5] LI Z, CHEN P, SU R, et al. PBX3 and MEIS1 cooperate in hematopoietic cells to drive acute myeloid leukemias characterized by a core transcriptome of the MLL-rearranged disease [J]. Cancer Res, 2016,76(3):619-629.
- [6] ALHARBI R A, PANDHA H S, SIMPSON G R, et al. Inhibition of HOX/PBX dimer formation leads to necroptosis in acute myeloid leukemia cells[J]. Oncotarget, 2017, 8(52):89566-89579.
- [7] 葛元勋, 巩丽, 张伟. HOXA9基因与恶性肿瘤关系的研究进展 [J]. 现代肿瘤医学, 2017, 25(2): 296-299.
- [8] BHATLEKAR S, VISWANATHAN V, FIELDS JZ, et al. Overexpression of HOXA4 and HOXA9 genes promotes self-renewal and contributes to colon cancer stem cell overpopulation [J]. J Cell Physiol, 2018, 233(2):727-735.
- [9] WANG SH, LI CL, WANG WB, et al. PBX3 promotes gastric cancer invasion and metastasis by inducing epithelial-mesenchymal transition[J]. Oncol Lett, 2016, 12(5): 3485-3491.
- [10] HAN S Y, HAN H B, TIAN X Y, et al. MicroRNA-33a-3p suppresses cell migration and invasion by directly targeting PBX3 in human hepatocellular carcinoma [J]. Oncotarget, 2016, 7 (27): 42461-42473.
- [11] 杜昌宇.PBX3在宫颈癌中的表达及与临床病理参数和预后关系[J].中国计划生育学杂志,2018,26(10):904-908.DOI: 10.3969/j.issn.1004-8189.2018.10.004.[万方链接]
- [12] 丁文清,袁迎九,后建丽,等.PBX3基因通过p38信号通路对子宫内膜癌细胞生物学特性的影响研究[J].现代妇产科进展,2018,27(10):741-744.
- [13] LAMPRECHT S, KALLER M, SCHMIDT E M, et al.PBX3 is part of an EMT regulatory network and indicates poor outcome in colorectal cancer[J].Clin Cancer Res, 2018, 24(8):1974-1986.
- [14] HAN HB, GU J, ZUO HJ, et al. Let-7c functions as a metastasis suppressor by targeting MMP11 and PBX3 in colorectal cancer [J].J Pathol, 2012, 226(3):544-555.
- [15] HAN H B, GU J, JI D B, et al. PBX3 promotes migration and invasion of colorectal cancer cells via activation of MAPK/ERK signaling pathway[J]. World J Gastroenterol, 2014, 20(48):18260-18270.
- [16] FENG Y, XU X, ZHANG Y, et al. HPIP is upregulated in colorectal cancer and regulates colorectal cancer cell proliferation, apoptosis and invasion [J]. Sci Rep, 2015, 5(1):9429.
- [17] ALHARBI RA, PANDHA HS, SIMPSON GR, et al. Inhibition of HOX/PBX dimer formation leads to necroptosis in acute myeloid leukemia cells[J].Oncotarget, 2017, 8(52):89566-89579.

(收稿日期:2019-07-25,修回日期:2019-09-12)